



# IN TERMATIONAL ATOMIO BUBRUY AGENCY UNITED NATIONS EDUCATIONAL, SCIENTIFIC AND OULTURAL ORGANIZATION



# INTERNATIONAL CENTRE FOR THEORETICAL PHYSICS 34100 TRIESTE (ITALY) - P.O. H. 586 - MIRAMAR® - STRADA COSTIERA II - TELEPHONE. 2240-1 CAHLE: CENTRATOM - TELEX 460392-1

H4.SMR/193 ~ 21

"COLLQUE INTERNATIONAL SUR LA SCIENCE DES MATERIAUX POUR L'ENERGIE".

(26 août - 11 septembre 1986).

DEPOT EN COUCHE MINCE DE SILICIUM AMORPHE HYDROGENE
PAR PHOTO CVD

B. AKA, E. FOGARASSY, C. FUCHS, P. SIFFERT

CNRS, Groupe de Physique & Applications des semi-conducteurs
B.P. 20, F-67037 STRASBOURG, FRANCE

Ces notes de recherche provisiores, sont destinées aux participants. Eventuellement, d'autres copies seront disponibles au bureau 231.

## DEPOT EN COUCHE MINCE DE SILICIUM AMORPHE HYDROGENE PAR PHOTO CVD

### RESUME

La décomposition photochimique de SIH4 est faite soit directement par une lumière cohérente fournie par un laser excimer UV à 193 nm soit par photosensibilisation au mercure grâce à une lumière incohérente fournie par une simple lampe à vapeur de mercure sous faible pression émettant à une longueur d'onde de résonnance de 254 nm.

Les produits observés au chromatograhe en phase gazeuse sont dans l'ordre d'im portance décroissante H2, SI2H6, SI3H8. On note en plus un dépôt d'hydrure de silicium sur le substrat et dans une moindre mesure sur les parois du réacteur. Un modèle cinétique est proposé que nous pensons mieux correspondre aux résultats expérimentaux.

Enfin, l'intérêt photovoltaïque d'un tel procédé est discuté.

# Solition on serve fully in free in the present of t

### Description

Du gaz SIH4 dilué à 30 % à l'argon est envoyé dans un réacteur où est placé un substrat en verre chauffé par rayonnement infrarouge. Du mercure liquide est déposé dans un creux du réacteur dans le cas où on veut procéder à une photosensibilisation au mercure. Un serpentin à l'arrière du réacteur permet éventuellement de refroidir la vapeur de mercure. Un pompage primaire et secondaire permet de faire le vide dans le réacteur. Nous utilisons à volonté un faisceau de lumière fournie par un laser excimer UV ou une lampe UV sous faible pression. La Lampe UV ayant une puissance de 30 W et le LASER exciment de Arf une puissance de 24 W par pulse.

### Nature des réactifs et des produits

Pour notre expérience, nous avons utilisé SIH4 mais on pourrait utiliser aussi bien SI2H6 qui a Pu être décemposé directement sans plate.

Sensibilisateur mais autre un faible rendement.

L'analyse faite au chromatographe en phase vapeur ont montré la présence dans l'ordre d'importance décroissante des produits de réaction H2, SI2H6, SI3H8 et des silanes supérieurs en très faibles quantités, ce qui est en accord avec les expériences décrites dans la litterature.

Un polymère solide d'hydrure de silicium est observé sur le substrat et dans une moindre mesure sur les parois du réacteur.

### 2/ ETUDE DE LA CINETIQUE CHIMIQUE

nous ont conduit à proposer le mécanisme chimique suivant dans le cas de la photo sensibilisation au mercure, expérience que nous avons particulièrement réussie. Le monosilane ayant une faible absorption aux longueurs d'onde *Aupérieurs* à 195 nm. Les composés divalents du silicium étant très instables, ils réagissent rapidement avec des produits stables ou alors ils sont adsorbés à la surface du substrat. Dans le cas typique de la photosensibilisation au mercure seul le radical silyle monovalent SIH3 est produit en prédominance dans le processus pri-

maire. 4,43

Processus primaire. 5, 14

 $Hg(^{4}S_{o})+hv(254nm) \longrightarrow Hg(^{3}P_{A})$ 

 $Hg(^{3}P_{A})+SIH4 \longrightarrow SIH3+H+Hg(^{4}S_{D})$ 

kl=6 4 10cc.molecule.s

Processus secondaire 9.40,48

H+SIH4 ---→ SIH3+H2

k2=7,5.10<sup>43</sup>

S1H3+S1H3 ----> SIH4+SIH2

k3=1,5.10<sup>-A0</sup>

SIH4+SIH2 ----> SI2H6

k4=1,5.10-12

SIH2+SI2H6 ----> SI3H8

k5=3,7.10 11

SIH3+Paroi Rada SIH3(surface)

n(SIH2)+Paroi & add >n(SIHx)+n(1-x/2)H2 polymerisation of liberation de Hg.

Pour toute sorte de décomposition de SIH4, il est utile d'envisager les 2 formes suivantes qui interviennent le plus souvent dans le processus primaire.

NIKI & MAINS ontxpour l'expérience de décomposition par photosensibilisation au mercure de SIH4, la courbe suivante:

Produits obtenus lors su la photolyse de SiH4 photosensibilisé por Hg.

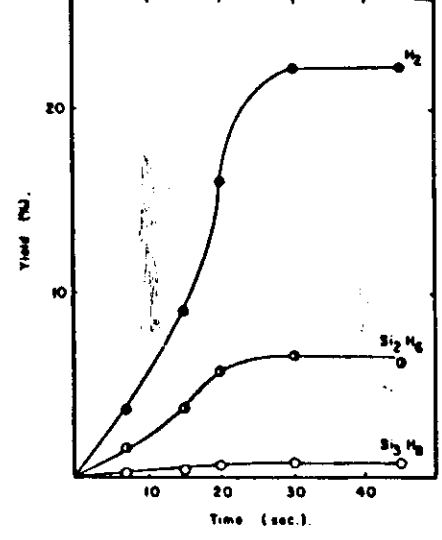


Figure 2. Mercury-sensitized photolysis of monocillane at I cin, premure unit 25°; product vields es, time

### 3/ SPECTRE INFRAROUGE

Le spectre de transmission IR ci-dessous de la couche obtenue par photo-CVD avec le laser montre l'existence de liaison SI-H à une fréquence d'oscillation d'environ 650 CM<sup>4</sup>et aussi des liaisons SI-H2 à une fréquence d'élongation de 2100 CM<sup>4</sup>. Un pic observé à une fréquence de 1025 CM montre l'existence de liaison SI+0 d'où la présence d'impuretés oxygène dans la couche due à l'oxygène résiduel de l'air maloré le vide de 10 torr.

YASUO et al. dans le cas, cette fois ci, de la photo CYD par photosensibilisation à Hg de SI2H6 ont mesuré une vitesse de dépôt très élevée de 100nm/mn à une température de substrat de 250°Cà une pression de disilane de 200 pascals.

La vitesse de dépôt dépend fortement de la température du substrat, de la pression des réactants et un peu de la température du mercure.

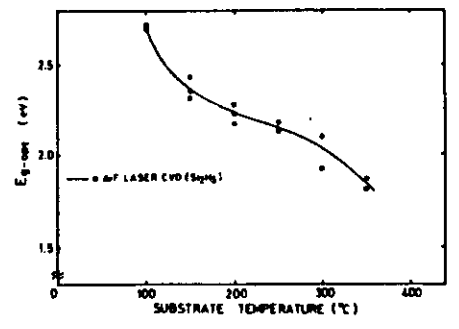
Dans le cas de SIH4, nous avons mesuré une vitesse de dépôt de 30Å/mp. en supposant l'épaisseur proportionnelle à la durée de l'essai oui est de une heure.

### 4-/ PROPRIETES ELECTRONIQUES

Nous reportons ci-desseus la courbe tiné du spectre d'absorption de la courle amorphe sur un substrat porté à 300°C. En portant les en fonction de l'énergie du photon ₩ nous tirons le gap optique Eg qui est de 1.90 ev.

Une mesure ultérieure de la photocondutivité et de la résistivité nous permettra de comparer le silicium amorphe obtenu par la photo-CVD avec les autres procédés d' obtention; Les propriétés du silicium amorphe dépendant beaucoup des conditions de préparation et du type de procédé utilisé.

A titre d'exemple nous montrons ci dessous la dépence du gap optique en fonction de la temperature T°s dans l'expérience faite par YOSHIKAWA & YAMAGA avec un laser excimer ArF sur le disilane.



Dependence of the optical bandgap on the substrate tempera-

### 5/ CONCLUSION

march.

La photo CVD est une méthode nouvelle d'obtenir du siliciumxhydrogené, matériau pouvant servir dans la fabrication des transistors à effet de champ, des tubes lecteurs d'image, dans la reprographie, les montres et calculatrices dites solaires etc. 4,4,14

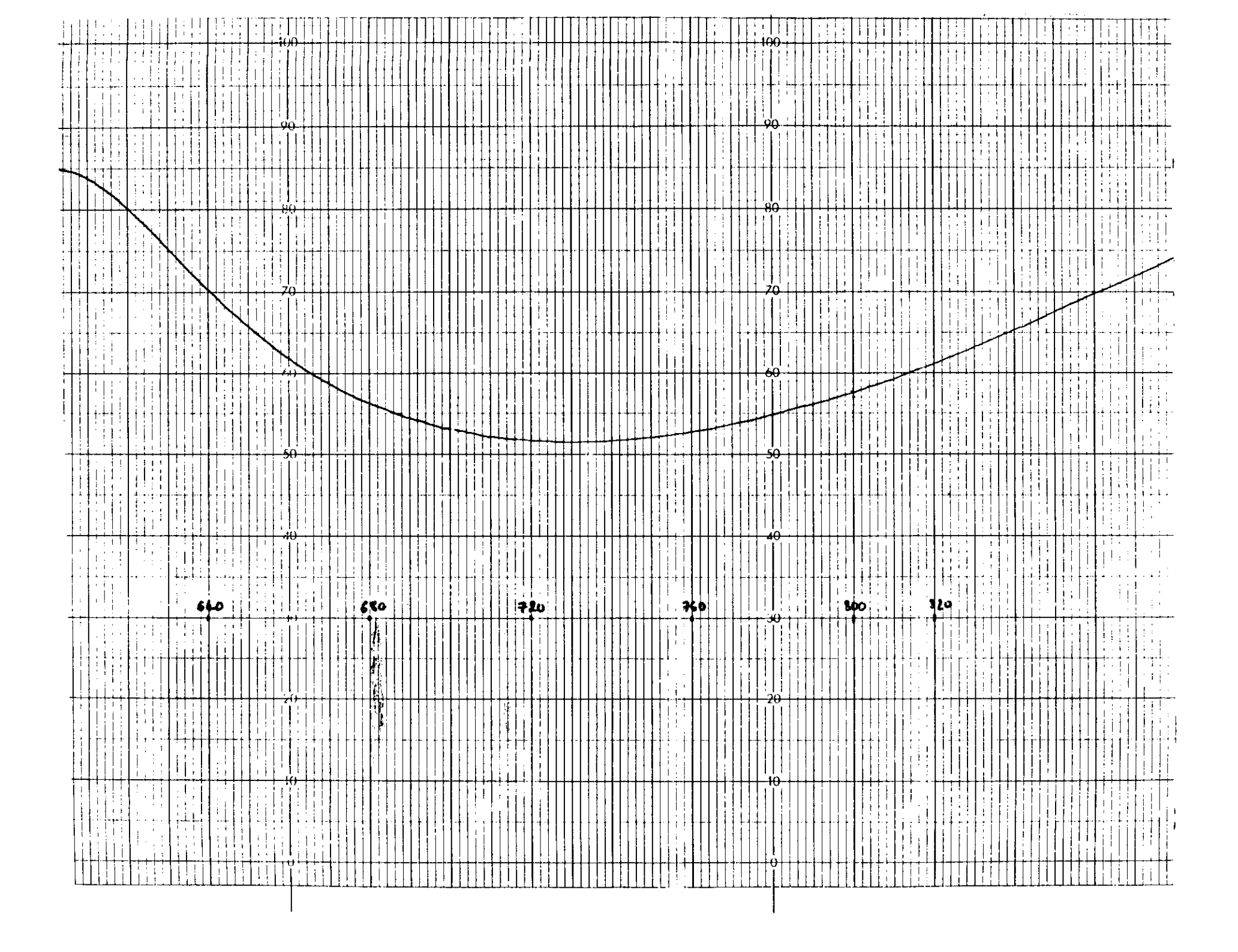
Le silicium amorphe est relativement bon marché comparé à son homologue cristallin dont l'obtention nécessite de nombreuses étapes.

La photo-CVD a l'avantage comparée aux méthodes classiques d'obtention de silicium amorphe, à savoir la pulvérisation cathodique, l'évaporation ou même la décharge lumineuse, d'éviter les dommages dus aux ions et aux electrons cathodiques.

Le silicium amorphe obtenu par photo-CYD présente aussi une forte résistivité et une bonne photoconductivité, ce qui fait de lui un bon candidat pour la conversion photovolta $\ddot{a}$ que. Les recherches se poursuivent.

### REPERMICES

- I/ NIKI & MAINS j. phys.chem 63,304(1964)
- 2/ Y.MISHIMA, Hhirose, y. ASANA K Nikahing . jap. j. appl. phys. VO122 nf pL/6(1983)
- 3/ TSAITOH, S. Aukhriffin, S. MATSumka, " " "vol22(1983) supplement 22-1p617
- 4/ M. KONAGAI, T. TANAKA, K. Wiet Met Kataku ipolymicrocristalline& amorphous semicondumRS STRASBOURG pobl (1984)
- 5/ K. AUSTIN & w LAMPE j.phys.chem.vol 30 no 26p28II (1976)
- 6/ Y.TARUI, K. AOTH, T. SHEWAN, T. SHITOH (1907)
- 7/ M. WEINIER, TA GATTUSO, B. MICK, 75 HAGGERTY .Appl. phys. letter 43(3)p273(1983)
- C/ YOJHIKAJA A & S. YAHAGA Jap. j. appl. phys. vol23no2 pl91 (1904)
- 9/ F.F.J KAMPAS & R.W GRIFFITH appl.phys. ett 39(5) 1981)
- 10/ P.JOHN & J.H PURNELL Trans. Faraday j.chem.soc. 1,69 (1973)
- II/ J. PERRIN, T.BREKHUIZEI, R.BEIFFERHAT Modeling of mercury-photosensitized decomposition of SIMA and a-SI:H film deposition in a parallel plate react to be published) Ecole Polytechnique 91180 palaisemu-France
- 12/ M.BOWREY, J.H PURNELL J.amer.chem.soc. 92:3 p2594 (1970)
- 13/ A.PERKINS . R.AUSTIN, W.LAMPE Amer.chem.soc. IOI:5 pIIO9 (1979)
- 14/ J.BAIXERAS, O.MENCARAGLIA, E.AREME, A.AMARAL Ann.chim.fr. 1983,8, p3-18



]	<del>       </del>	111		$\prod$						1	$\perp$				<u></u>			i		-					-+-1	+)0		į								Ţ					I							П	Ţ	. ]		- i	1:	Τ		+	 o.:				i	Ti	Τ.	1	Н		T :	1 :			
			4 P	<b>e</b> , c	ta	•		4		,	54	li Li	<u> </u>	1,	21	2	D/		+	4			Q	رک	11	IJ	,	h.	H	<b>D</b> =	<b>K</b>	V,	D					.  -														1	1			Ĭ	. 1				i		1 .			1				1 1	
0		! !						بهوا		;   ;   ;		8.	4	C Ind	14	4							-		+	) ()		-		: 1					li																			i	1 :	ا بن_				1											
								-			-	-						4						+	1		-			+ +																																									, ,
0   -				-		$\frac{1}{1}$							-			i		;						11	1	[j																																1	:										/		
	; ;		!   ; 	!			1			 		-													li Tr								- -																	;   ;					!!	Ì												7			
									l  -	! !		,	!		: !	+	+	-								  20	<u>                                     </u>	:	<u> </u>  -	1 : 		11																								1									1	/		:			
													1	1 1	; . T:	:	i t			1.		; ;		++	1		1		-	1		  -  -		-						+-		- -			+-			+								. ]						1			/ 	. [ ]				- - - - -	
) )															; ; ; ;			-							1	50				!!			$\frac{1}{1}$			H							$\frac{1}{1}$									  -  -			11	60		-	H	<u> </u>		1	/		:	. 1 :			1		1:
		!										-   -								-								  -  -				-												++																		/			1 1						
																			+++								<del>                                     </del>																				-			+ -						<b>5</b> 6			7	<i>(</i> -											
		3 20	)							1	60									•				1 1	4				1	-										1								1							/		/										-				•
																					-: i										40										10						++			. <b>5</b>	7					<del></del> )	-				560										61
																				,					7																  - 				1											20															
									++	11	Ħ		ì	†† 	<del>                                      </del>	-	<u> </u>			П										4						 																				10															
ШТ												<u>                                   </u>									-					,				ī	-	-	+		+	٠.	-		+	-	<u> </u>	+	+	-	+	$\parallel$	+	+	+	+	+	+	+	+		ا ا ا	+	+	+	+	+	H	+	+	-	H	#	#	1	-	

